タテープラン 华南农业大学学报 17(1) 1996: 85~90 J. South China Agr. Univ.

# 烟叶超氧物歧化酶的研究

穆虹 廖 数 何 平 徐凤彩 (华南农业大学农业生物系,广州,510642) \$ 5 5 7 €

摘要 从烟叶中提取的超氧物歧化酶 (SOD), 经 PAGE 垂直板电泳后, 用氮蓝四唑 (NBT) 法活性染色、并经凝胶薄层扫描 ( \( \lambda = 595\) nm), 结果显示粗酶液有 6 条同工酶谐带, 经纯化后的酶只有一条谐带, 此纯酶液置冰箱 36 h后, 可获得长方形结晶, 结晶酶液用 Sephadex G-100 住层析 (1.5 cm > 100 cm) 和 SDS-PAGE 测得其分子量分别为 24 830 和 28 900. 用等电聚焦电泳测得该酶等电点为6.80。该酶在 pH 5~9 范围内活性较稳定、在 75 ℃ 保温 15 min 活性尚保留 54%。此酶对 KCN、氯仿-乙醇不敏感, 但受到 EDTA、H<sub>2</sub>O<sub>2</sub> 的强烈抑制, 表明烟叶中分离纯化得到的 SOD 为酶分子中结合 Fe的 Fe-SOD。

关键词 烟叶;超氧物歧化酶;Fe-SOD;结晶 中图分类号 Q554.6

超氧物歧化酶 (superoxide dismutase, SOD, EC 1.15.1.1)是一种广泛存在于需氧生物体内的重要金属酶、催化超氧物阴离子自由基 $(O_2)$ 或其质子化产物 $(HO_2)$ 歧化为  $H_2O_2$ 和  $O_2$ 。SOD 在防御生物体免受超氧自由基的损伤,在抗辐射、抗肿瘤、抗逆境及延缓机体衰老等方面起着重要作用。

烟草 SOD 的研究,在国内未见研究报告,在国外报告也不多(Furusawa et al, 1984; Montalbini et al, 1986; Bakardjieva et al, 1992)。我们从烟叶中分离出 SOD,并获得结晶,同时研究了其部分性质。烟叶 SOD 的研究,对烟草的综合利用具有重要意义。

## 1 材料与方法

#### 1.1 材料

烟草(Nicotiana rustica)成熟新鲜叶片。

#### 1.2 方法

1.2.1 酶的提取与纯化 取新鲜成熟叶片 300 g, 加入 0.05 mol/L pH 7.5 磷酸钾缓冲液匀 浆, 四层纱布过滤, 滤液中加固体 (NH<sub>4</sub>)<sub>2</sub>SO<sub>4</sub>至 25% 饱和度, 离心 (9 000 r/min, 10 min, 室温), 收集上清液,于上清液中再加入固体 (NH<sub>4</sub>)<sub>2</sub>SO<sub>4</sub>至 75% 饱和度, 离心 (同上), 收集沉淀, 沉淀溶于一定量上述缓冲液, 离心 (同上), 弃去沉淀, 上清液对重蒸水透析, 透析液经 DEAE — 纤维素离子交换柱层析 (1.5 cm × 60 cm), 离子强度线性梯度洗脱, 收集酶活性峰洗脱液, 经超滤至原体积 1/3、再 Sephadex G – 100(1.5 cm × 60 cm), 收集酶活性峰洗脱液、并超滤浓缩, 浓缩液 (蛋白含量为 154 mg/L) 置冰箱 36 h 后出现长方形结晶。

1.2.2 酶活力测定 按 Giannopolitis(1977)和王爱国等(1983)方法,利用 SOD 抑制氮蓝四唑(NBT)在荧光下的还原作用,以抑制 NBT 光化还原 50%的酶量为 1 个酶活力单位(U)。

1995-02-22 收稿

第17卷

- 华 南 农
- 1.2.3 蛋白质含量测定 按 Bradford (1976) 方法,并以牛血清白蛋白为标准蛋白。
- 1.2.4 同工酶凝胶电泳分离及其活性染色 按罗广华等(1983)方法。
- 1.2.5 酶蛋白等电点(PI)的测定 采用等电聚焦法(北京大学生化教研室编,1979)。
- 1.2.6 酶分子量的测定 (1) Sephadex G-100 柱层析法。(2) SDS-PAGE 法。均以磷酸化酶 B (MW 94 000)、牛血清白蛋白 (MW 67 000),肌动蛋白 (MW 43 000)、碳酸酐酶 (MW 30 000)、TMV 外壳蛋白 (MW 同 17 500) 为标准蛋白 (上海申华公司产)。

## 2 实验结果

#### 2.1 酶的纯化

提取液经(NH<sub>4</sub>)<sub>2</sub>SO<sub>4</sub>分部沉淀,离子交换柱层析,凝胶过滤等步骤,酶被纯化了 26 倍,比活力达 746,活力回收达 16%,酶的纯化结果如表 1。

表 1 烟叶 SOD 分离纯化结果(材料 300 g)

步 骤	总体积 /mL	总蛋白 /mg	总活力 /U	比活力	回收率 /%	纯化倍数			
抽提液	890	4 490	130 830	29	100	<del></del>			
25%~75%(NH4);SO4 (透析液)	96	264	48 480	184	37	6.3			
DEAE - 纤维素	92	179	31 093	174	24	6			
Sephadex G-100	70	28	20 888	7 <b>4</b> 6	16	26			

此酶液浓缩至蛋白浓度为 154 mg/L 以上,置冰箱 36h 后出现长方形结晶(图 1)。



图 1 烟叶 SOD 结晶(100×

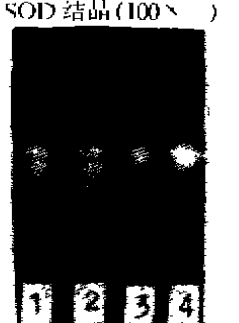


图 2 烟叶 SOD 凝胶电泳图谱

(1~2烟叶粗提取液;

3~4烟叶纯化酶液

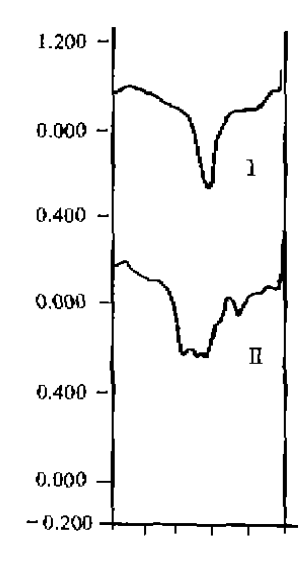


图3 烟草 SOD 同工酶谱带薄层扫描图谱 (i=595 nm)

(I:烟叶纯化酶液; II:烟叶粗提取液)

### 2.2 酶纯度的检测

粗提酶液经 PAGE 垂直板电泳,并以 NBT 法活性染色,结果表明烟叶提取液中含 6 种 SOD 同工酶(图 2 中 1 ~ 2)、纯化酶液中仅一条酶带(图 2 中 3 ~ 4)、用凝胶薄层扫描( $\lambda$ = 595 nm). 结果(图 3)与上述一致。

#### 2.3 酶分子量的测定

采用等电聚焦法测得酶蛋白的 PI 值为 6.80(图 4)。

#### 2.4 酶分子量的测定

用 Sephadex G-100 柱层析法测得酶的分子量为 24 830(图 5); 用 SDS-PAGE法测得磷酸化酶 B 的迁移率 (Rf)为 0.54、牛血清白蛋白的 Rf 为 0.607, 肌动蛋白的 Rf 为 0.801、烟叶 SOD 的 Rf 为 0.77、上述标准蛋白的 Rf 对其分子量的对数作图、根据烟 草 SOD 的 Rf 求得其分子量为 28 900。

## 2.5 抑制剂对 SOD 活性的影响

- 2.5.1 EDTA 对酶的抑制作用 EDTA 对酶活性有较明显的抑制作用,且抑制作用随 EDTA 浓度的增大而增强(表 2)。
- 2.5.2  $H_2O_2$  对酶活性的影响  $H_2O_2$  对酶活性的抑制作用较明显  $1.5\%H_2O_2$  可抑制酶活性 83%(表 2)。

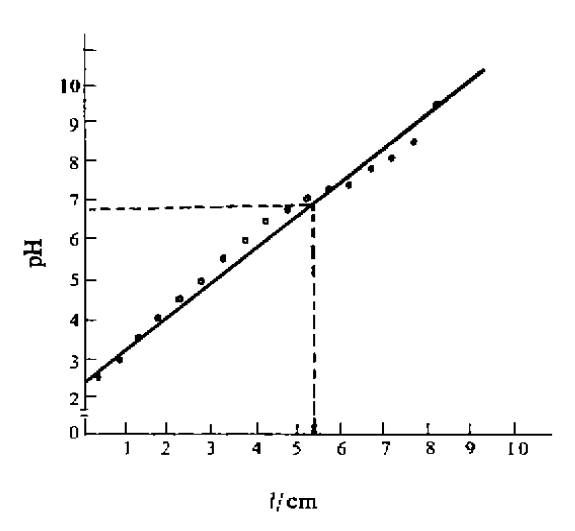


图 4 SOD酶蛋白的PI值

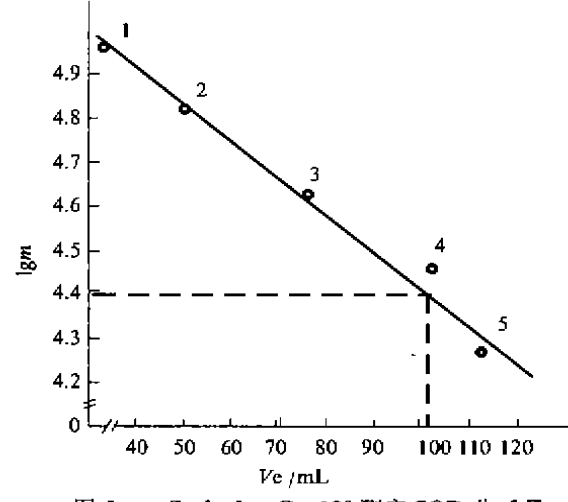


图 5 Sephadex G-100 測定 SOD 分子量 (1. 磁酸化酶 R. 94.000.2.4 血液白蛋白 6.7000.3.4 印起

(1. 磷酸化酶 B 94 000 2. 牛血清白蛋白 6 7000 3. 肌动蛋白43 000 4. 碳酸酐酶 30 000 5.TMV 外壳蛋白17 500)

2.5.3 KCN、 氯仿 - 乙醇对酶活性的影响 KCN、氯仿 - 乙醇对酶活性的影响 不明显. 0.2 mmol/L 的 KCN 仅抑制酶活性的 4%、氯仿 - 乙醇 (2:3 v/v) 对酶活性的 抑制 也 仅 2%  $({2:3\text{ v/v}})$ 

## 2.6 酶的酸碱稳定性和热稳定性

2.6.1 温度对酶活性的影响 等量的酶液于不同温度下保温 15 min、流水冷却后测定酶活性、结果(表 3)表明酶随着温度上升活性下降、在 26  $\sim$  65  $^{\circ}$  范围内活性较稳定、75  $^{\circ}$  保温 15 min, 仍可保留 54% 的活性。

表 2 EDTA、H<sub>2</sub>O<sub>2</sub>、KCN 和氯仿 - 乙醇对烟叶 SOD 酶活性的影响 (84 mg/L 蛋白)

表 3 温度及 pH 对烟叶 SOD 活性的影响 (84 mg/L 蛋白)

抑制剂	浓度	酶活性/ U·L-'	抑制程度/%	温度	酶活性	<u> </u>	pΗ	酶活性
EDTA	$0.0/\text{mmol} \cdot L^{-1}$	1.56 × 10°	0.0	C	U·L-r	%		U·L⁻¹
	1.0	t.37×105	12.0	CK	$1.51 \times 10^{5}$	0.001	4.0	4.37 x 10 <sup>4</sup>
	0.5	$1.14 \times 10^{5}$	27.0	26	$1.43 \times 10^5$	95.0	5.0	$1.23 \times 10^{5}$
	1.0	$9.2 \times 10^4$	41.0	36	$1.38 \times 10^5$	91.6	6.0	1.43 × 105
	t,5	$6.7 \times 10^4$	57.0	45	$1.32 \times 10^{3}$	87.7	7.0	$1.31 \times 10^{5}$
H <sub>2</sub> O <sub>2</sub>	0.0/%	$1.41 \times 10^{5}$	0.0	55	$1.20 \times 10^{\circ}$	79.6	7.5	t.14 × t05
	$7.5 \times 10^{-4}$	$1.40 \times 10^{5}$	0.4	65	$1.10\times10^{5}$	72.6	0.8	$109 \times 10^{5}$
	1.5	$2.4 > 10^4$	83.0	75	$8.15 \times 10^4$	54.0	9.0	9.37 × 10 <sup>4</sup>
	3.0	$2.1 \times 10^4$	85.0	85	$4.14 \times 10^4$	27.4		
KCN	$0.0/\text{mmot} \cdot L^-$	1.56×10 <sup>5</sup>	0.0					-
	0.2	$1.50 \times 10^{s}$	4.0					
Chloroform — ethanol	2:3 v/v	1.53 × 10 <sup>5</sup>	2.0					

2.6.2 pH 对酶活性的影响 将等量酶液于等量不同 pH 缓冲液 (pH < 6.0 为 0.05 mol/L 磷酸钾缓冲液, pH  $\geq$  7.0 为 0.05 mol/L Tris  $\sim$  HC1 缓冲液) 中室温放置 4 h 后, 调 pH 至 7.5 测定酶活性, 结果 (表 3) 表明酶活性在 pH5  $\sim$  9 范围内较稳定, 在 pH4 时活力较低, 在 pH6 时活力最高,

## 3 讨论

超氧物歧化酶(SOD) 按其结合的金属辅基不同分为 Cu、Zn-SOD、Mn-SOD 和 Fe-SOD 3 种类型,其中 Cu, Zn-SOD 对KCN、H,O. 敏感,对氯仿-乙醇不敏感, Mn-SOD 对 KCN, H,O, 不敏感, 对氯仿 - 乙醇敏感, Fe-SOD 只对 H,O, 敏感。原核生物及大部分真 核藥类具有 Mn-SOD 和 Fe-SOD, 无 Cu, Zn-SOD 存在。 高等真核生物 3 种类型的 SOD 都有、Cu、Zn-SOD主要存在于细胞质中、在叶绿体中也有; Mn-SOD主要存在于线粒体 中; Fe-SOD 主要存在于叶绿体中(Weisinger et al, 1973; Bowler et al, 1992) SOD 的类型, 同工酶的数目及每种酶的相对含量,不同的生物,不同的营养条件.不同的生长环境,其变 化较大 (Foster et al. 1980; Nelson et al, 1992; Scandalios, 1993; Tsang et al, 1991). 即使同 种类型的 Fe-SOD, 来自不同的生物体,其性质也不同(Duke et al, 1985; Kirby et al, 1981; Salin et al, 1980; Yost et al, 1973), 在植物体中、Cu、Zn-SOD, Mn-SOD 的研究报告较 多(王爱国等、1983; 陈宗道等、1989; 陈贵等、1989; Burke et al, 1992; Sevilla et al. 1982)、 Fe-SOD 的报告相对较少 (Bakardjieva et al, 1992; Duke et al, 1985; Salin et al. 1980), 我们发现新鲜烟叶的粗酶液中含 6 种 SOD 同工酶, 我们纯化得到了其中主要的一种 (图 2). 该酶对 KCN、氯仿-乙醇均不敏感,而受到 H,O,的抑制作用明显(表 2)、抑制试 验表明、从烟叶中纯化得到的 SOD 为 Fe-SOD。Bakardjieva 等 (1992) 在对烟草的绿色组 织与黄化组织的比较中发现、绿色烟草组织 SOD 活性高,同工酶数目多、且主要是 Mn-SOD 和 Fe-SOD, Cu, Zn-SOD 的活性近乎零。我们纯化了新鲜烟叶 6 种同工酶中的一种、并通过抑制试验证明其为 Fe-SOD, 至于该种酶在细胞中的定位, 及其余 5 种同工酶分属何种 SOD 的类型, 有待进一步研究。

在睡莲(Water lily)中分离得到的 Fe-SOD, 其分子量为 46 200 的二聚体, 其等电点为 4.8(Salin et al.1980); 在银杏(Ginkgo biloba)中分离得到 Fe-SOD 的二种同工酶, 其分子量为 47 000 的乙聚体, 等电点分别为 5.25 和 5.15(Duke et al.1985); 在甲烷杆菌 (Methanobacterium bryantii)和大肠杆菌中分离得到的 Fe-SOD, 分别为分子量为 91 000 = 2 000 的四聚体及分子量为 38 700 的二聚体(Kirby et al.1981; Yost et al.1973), 我们从烟叶中分离得到的 Fe-SOD, 用凝胶过滤和 SDS-PAGE 测得的分子量分别为 24 830 和 28 900(图 5), 可能为单亚基酶, 且测得其等电点为 6.8(图 4), 高于上述睡莲和银杏中Fe-SOD 的等电点。

Cu, Zn-SOD在pH  $5.5 \sim 10.0$ 范围内稳定,Mn-SOD对pH敏感,pH>7.0稳定性降低 (Frkidovich. 1975),我们从烟叶中纯化得到的 Fe-SOD在 pH  $5.0 \sim 9.0$ 范围内活性较稳定(表3)。陈宗道等 (1989) 报道茶叶中有  $3 \land SOD$  同工酶, $2 \land D$  Cu, Zn-SOD.  $1 \land D$  Zn-SOD并测得茶叶 SOD 的最适温度为  $10 \lor D$  时,最适 pH 为 8.0。 Burke 等 (1992) 报告豌豆细胞质,叶绿体中的 Cu, Zn-SOD 及线粒体中的 Mn-SOD, 在  $10 \lor D$  时活性最高,在  $10 \sim 45 \lor D$  范围内 Cu, Zn-SOD 活性下降较快,Mn-SOD 活性下降平稳。我们分离得到的烟叶中的 Fe-SOD, 在  $26 \sim 65 \lor D$  范围内活性下降也较平稳,至于其最适温度,从实验结果来看,应小于或等于  $26 \lor D$ 。

关于 SOD 的研究报告较多,可以看到不同的 SOD,来源不同,类型不同,其性质也不同。同一类型的 SOD,来源不同,其性质也有较大差异。我们对烟草 SOD 的分离研究,旨在为烟草的综合利用开辟一条新的途径,对其部分性质的研究,旨在为烟草 SOD 的生产和应用提供一定的理论依据。

#### 参考文献

北京大学生物系生化教研室,1979. 生物化学实验指导、北京: 高等教育出版社,69 陈 贯、胡文玉,李晓萍,1989. 芹菜叶片 SOD 谱带和活性测定、辽宁农业科学,(3): 36~38 陈宗道、宋 玮,1989. 茶叶 SQD 的研究,西南农业大学学报,11(3): 302~306 王爱国,罗广华,邵从本,等、1983. 大豆种子超氧物歧化酶的研究,植物生理学报、9(1):77~84 罗广华,王爱国、1983. 植物 SOD 的凝胶电泳及活性显示,植物生理学通讯,(6)·44~45

Bakardjieva N, Hristov K. 1992. Comparative charaterization of peroxidease and SOD secretion from green and chlorophyll-free tobacco callus tissues. Frziol Rast, 18(2): 23~30

Bradford M. 1976. A rapid sensitive method for quantitation of microgram quantites of protein utilizing the principle of protein—dye binding. Anal Biochem, 72: 248

Bowler C. Van Montagu M, Inze D. 1992. Superoxide dismutase and stress tolerance Annu Rev Plant Physiol Plant Mol Biol, 43: 83~116

Burke J J, Oliver M J. 1992. Different temperature sensitivity of pea SOD. Plant Physiol. 100(3):1595~1603

Duke M U, Salin M L. 1985. Purification and characterization of an iron-containing SOD from an eucaryote, *Ginkgo biloba*. Arch Biochem Biophys, 243: 305~314

Foster J G. Edwards G E. 1980. Localization of SOD in leaves of C<sub>3</sub> and C<sub>4</sub> plants. Plant Cell Physiol, 21:896~906

第17卷

Fridovich I. 1975. Superoxide dismutase. Ann Rev Biochem, 44:147~155

Furusawa I, Tanaka K, Thanutong P, et al. 1984. Paraquat resistant tobacoo calluses with enhanced SOD activity. Plant Cell Physiol, 25:1 247~ 1 254

Giannopolitis C N, Ries S K.1977. Superoxide dismutase I: Occurrence in higher plants. Plant Physiol, 59:309~314

Kitby T W, Lancaster J R, Fridovich I. 1981. Isolation and characterization of the iron-containing SOD of Methanobacterium bryantii. Arch Biochem Biopgys, 210: 140~ 148

Montalbini P. Buonaurio R. 1986. Effect of tobacco mosaic virus infection on levels of soulble SOD in Nicotoana tabacum and Nicotiana glutinosa leaves. Plant Sci, 47: 135~ 139

Nelson S K, Huang C J. Mathias M M, Allen K G D. 1992. Copper—marginal and copper—difficient diets decrease aortic lipid prostacyclin production and copper—dependent SOD activity, and increase aortic lipid peroxidation. J Nutr. 122(11): 2 101~2 109

Salm M L, Bridges S M. 1980. Isolation and characterization of an iron-containing SOD from water lily, Nuphar luteum. Plant Physiol, 69: 161 ~ 165

Scandalios J G.1993. Oxygen stress and SOD, Plant Physiol, 101(1):  $7 \sim 12$ 

Sevilla F, Julio L G, Luis A Del R. 1982. Characterization of a magnanese SOD from the higher plant *Pisum sativum* L.Plant Physiol, 70(5): 1321~1326

Tsang E W T, Bowler C, Herouant D et al. 1991. Differential expression of SOD in plant exposed to environmental stress. Plant Cell, 3: 783 ~ 792

Weisinger R A, Fridovich I. 1973. Superoxide dismutase: Organelle specificity. J Biol Chem. 248: 3 582~ 3 592

Yost F J, Fridovinch I. 1973. An iron-containing SOD from Escherichia coli. J Biol Chem. 248 4 905~ 4 913

## STUDIES ON CHARACTERISTICS OF SOD FROM TOBACCO LEAVES

Mu Hong Liao Yi He Ping Xu Fengcai (Dept. of Agr. Biology, South China Agr. Univ., Guangzhou, 510642)

## Abstract

Polyacrylamide gel electrophoresis of crude superoxide dismutase(SOD) extracts and purified SOD from tobacco leaves were performed. Six bands were found in the crude SOD extracts, and one of them corresponded to that for the purified sample Rectanglar crystals were yielded after the solution of purified SOD was stored in 4  $^{\circ}$ C refrigerator for 36 hours. The molecular weight of the purified SOD was 24 830 and 28 900 as measured by gel chromatography column and SDS-PAGE respectively. The isoelectric point of the purified SOD was 6.8 measured by ampholine electrophoresis. The purified SOD was stable at pH 5.0  $\sim$  9.0. Fifty – four percent of its activity remained after the purified SOD was kept at 74  $^{\circ}$ C for 15 minutes. The purified SOD was insensitive to KCN and chloroform – ethanol treatments, but it was strongly inhibited by EDTA and H<sub>2</sub>O<sub>2</sub>. The results indicated that the purified SOD from tobacco leaves was a Fe-SOD.

Key words tobacco; superoxide dismutase; Fe-SOD